- [15] Kim S H, Lee S, Piccolo S R, et al. Menthol induces cellcycle arrest in PC-3 cells by down-regulating G₂/M genes, including polo-like kinase 1[J]. Biochem Biophys Res Commun, 2012, 422(3): 436-441.
- [16] Li Q, Wang X H, Yang Z H, et al. Menthol induces cell death via the TRPM8 channel in the human bladder cancer cell line T24[J]. Oncology, 2009, 77(6): 335-341.
- [17] Yousefi S, Perozzo R, Schmid I, et al. Calpain-mediated cleavage of Atg5 switches autophagy to apoptosis [J]. Nat Cell Biol, 2006, 8(10): 1124-1132.
- [18] Rubinstein A D, Eisenstein M, Ber Y, et al. The autophagy protein Atg12 associates with antiapoptotic Bcl-2 family members to promote mitochondrial apoptosis [J]. Mol Cell, 2011, 44 (5): 698-709.

槲皮素对 A549 细胞 PI3K/Akt 信号通路及肿瘤恶性特征的调控机制

吴洪皓, 杨 华, 吴鹏* (江西省赣州市中医院, 江西 赣州 341000)

摘要:目的 探究槲皮素对肺腺癌 A549 细胞 PI3K/Akt 信号通路及肿瘤恶性特征的调控机制。方法 体外培养肺腺癌 A549 细胞, 用 20、50、100 μmol/L 槲皮素处理 24 h, CCK8 法、流式细胞术、Transwell 分别检测细胞增殖率、细胞凋 亡情况以及细胞侵袭水平,RT-qPCR 检测 PI3K、Akt mRNA、miR-29b 表达,Western blot 检测 PI3K、Akt 和相关功能 蛋白表达。结果 与对照组比较、槲皮素组细胞增殖率、侵袭水平均降低、与槲皮素浓度呈负相关、而凋亡率升高、 与槲皮素浓度呈正相关 (P<0.05)。与对照组比较,槲皮素组的 miR-29b、Bax 表达升高,而 PI3K、Akt、MMP-2、 MMP-9、Bcl-2 表达降低 (P<0.05)。结论 槲皮素可能通过促进 miR-29b 表达抑制 PI3K/Akt 信号通路的激活,进而 促进肺腺癌 A549 细胞的凋亡,抑制其凋亡。

关键词: 槲皮素; A549 细胞; miR-29b; PI3K/Akt

中图分类号: R285.5 文献标志码:B 文章编号: 1001-1528(2021)12-3476-04

doi:10.3969/j.issn.1001-1528.2021.12.042

肺癌 (lung cancer) 是常见的恶性肿瘤,并且是五年 生存率最低的恶性肿瘤之一。本世纪以来, 无论在我国还 是全世界, 肺癌的年发病人数、年致死人数均已跃居第 $-^{[1-2]}$, 其全球年发病人数 180 万, 死亡人数 160 万 $^{[3]}$, 是 严重危害人类生命健康的公共卫生问题。肺癌可以分为非 小细胞肺癌和小细胞肺癌两大类, 其中非小细胞肺癌占肺 癌的大多数, 而肺腺癌 (lung adenocarcinoma) 是非小细胞 肺癌的三大亚型之一,占总肺癌发病人数的 40% 以上[4]。 尽管早期肺腺癌相对容易治疗, 但肺腺癌发病较隐匿, 大 多数患者就诊时已进展到中晚期,癌细胞已经发生侵袭或 转移,导致肺腺癌成为五年生存率较低的恶性肿瘤之 一[5]。靶向治疗及免疫治疗的应用在一定程度上改善了这 种现状, 使患者的生存期得到了延长[6-7], 但耐药以及治疗 后的转移仍是亟待解决的一大难题。因此探究合适的治疗 药物和治疗靶点对于肺腺癌的研究和治疗意义重大。槲皮 素 (quercetin) 是一种天然黄酮类物质,有研究表明其在 肺腺癌中有一定治疗作用^[8]; 目前 microRNAs (miRNAs)

在肿瘤中的研究愈加深入,其中已有大量文献报道 miR-29b 在肿瘤发生进程中参与肿瘤细胞侵袭转移等关键作用 机制。而槲皮素介导 miR-29b 在肺腺癌中的调控机制鲜有 报道, 因此本研究旨在探究槲皮素通过调节 miR-29b 介导 PI3K/Akt 信号通路缓解肺癌 A549 细胞癌变分子机制。

1 材料

- 1.1 细胞 人肺癌细胞系 A549 (批号 PT-1034, 美国模式 培养物保藏中心 ATCC), 用基础培养基+20% FBS+8% DMSO 培养。
- 1.2 药物 槲皮素 (纯度≥93%, CAS 号 117-39-5, 江苏 永健医药科技有限公司),溶于二甲基亚砜 (dimethyl sulfoxide, DMSO) 中, 配成 20、50、100 μmol/L 溶液, 在 -20 ℃下保存备用。
- 1.3 仪器与试剂
- 1.3.1 仪器 酶标仪 (美国 Bio-Rad 公司); Annexin V-FITC/PI(上海硕嘉生物技术有限公司); XL型流式细胞仪 (美国 Beckman Conlter 公司); BPH-9052 型细胞培养箱

收稿日期: 2020-12-10

基金项目: 江西省卫生计生委中医药科研课题 (2017A174); 江西省卫生厅中医药科研基金课题 (2011A104); 赣州市科技计划项目 「赣市科发 (2020) 3]

作者简介: 吴洪皓 (1978—), 男,硕士,副主任中医师,研究方向为肺部疾病的中医治疗。Tel: 15079766920

*通信作者: 吴 鹏 (1983—), 男, 副主任中医师, 研究方向为内科疾病的临床诊疗。Tel: 13879787573

(上海轩仪仪器设备有限公司); 2D 双向电泳电泳仪 (广州浩翰仪器有限公司)。

1.3.2 试剂 Annexin V-FITC (批号 130-092-052)、碘化丙啶 PI (批号 P8080)、凋亡检测试剂盒 (批号 CA1020) (上海恒斐生物科技有限公司); 二甲基亚砜 (批号 D120527) (上海科敏生物科技有限公司); CCK8 (批号 CK04) (北京智杰方远科技有限公司); 胎牛血清 (批号 FBS500-S)、RPMI-1640 培养基 (批号 507767)(美国 Gibco公司); 兔抗 PI3K (批号 ab140307)、兔抗 Akt (批号 ab8805)、兔抗 MMP-2 (批号 ab37150)、兔抗 MMP-9 (批号 ab73734)、兔抗 Bcl-2 (批号 ab182858)、兔抗 Bax (批号 ab32503)、兔抗 GAPDH (批号 ab181602)、IgG 抗体(批号 ab6721) (英国 Abcam 公司)。

2 方法

- 2.1 细胞培养 人肺腺癌 A549 细胞用含 10% FBS、100 U/mL青霉素、100 μg/mL 链霉素的伯克改良伊格尔培养基培养,在 37 ℃、5% CO,下孵育。
- 2.2 分组 取处于对数生长期 A549 细胞,调整细胞密度 为 1×10⁶/mL,接种到 96 孔板,每孔 200 μL,实验分为 4 组,每组 3 个复孔,其中对照组为 A549 细胞,槲皮素低、中、高浓度组浓度分别为 20、50、100 μmol/L。

2.3 指标检测

- 2.3.1 CCK8 法检测细胞增殖 将细胞以 2×10³ 个/孔密度接种到 96 孔板中,设置只加培养基不加细胞的空白对照组用于调零,细胞转染 24 h 后于 24、48、72 h 每孔加入 10 μL CCK8 溶液,在 37 ℃下再孵育 4 h,采用酶标仪于 450 nm 波长处测定吸光度,计算实验组、对照组吸光度比值,绘制细胞生存能力曲线,重复 3 次,取平均值。
- 2.3.2 流式细胞术检测细胞凋亡 细胞培养后以 0.25% 胰酶消化各组细胞后,用 RPMI-1640 培养基终止消化, 1 000 r/min离心 5 min,弃上清液,4 $^{\circ}$ 预冷的 70% 乙醇固定,调整细胞密度为 1×10^6 /mL,取 1 mL 细胞, 1 500 r/min离心 10 min,弃上清,每 1 mL 细胞加 2 mL PBS,离心,弃上清,加入预冷的 70% 乙醇固定细胞,4 $^{\circ}$ 过夜,第 2 天用 PBS 洗涤细胞 2 次,取 100 $^{\circ}$ 从细胞悬液,加入 50 $^{\circ}$ 以 含 RNAase 的 PI 染液,避光 30 min,100 目尼龙网过滤,流式细胞仪记录在 488 nm 激发波长处红色荧光,检测细胞周期。
- 2.3.3 Transwell 实验检测细胞侵袭水平 细胞培养 24 h 后,取出-80 ℃保存的基底胶,4 ℃平衡过夜融化成液态,在 200 μL 无血清培养基中加入 200 μL Matrigel 胶,稀释基质胶,Transwell 板上室加入 50 μL,放入培养箱中,孵育 2~3 h 待胶成为固态后消化细胞、计数,用无血清培养基配成细胞悬液,每孔上室中加入 200 μL 细胞悬液,下室中加入 600 μL 含有 20% FBS 条件培养基,37 ℃培养箱孵育 20~24 h。取出 Transwell 板,PBS 漂洗 2 次,甲醛固定 10 min,再用清水洗 3 次,0.1% 结晶紫染色,室温放置 30 min,PBS 漂洗 2 次,棉球擦去上表面的细胞,晾干后

用倒置显微镜随机计数 5 个视野的细胞, 重复 3 次, 取平均值。

- 2. 3. 4 RT-qPCR 检测 PI3K、Akt mRNA、miR-29b 表达 采用 Trizol 提取总 RNA,使用逆转录试剂盒将 RNA 反转录成 cDNA,体系 20 μ L,反应条件为 37 °C 15 min,85 °C 5 s。以 cDNA 为模板,TaqMan MicroRNA Assay 和 TaqMan® Universal PCR Master Mix 用于 RT-qPCR,U6 mRNA 水平作为内参对结果进行归一化,使用 SYBR Premix EX Taq 试剂盒进行加样,样品在实时荧光定量 PCR 仪中进行 RT-qPCR 反应,引物由生工生物工程(上海)有限公司合成,记录各孔 CT 值,mRNA 以 GAPDH 为内参,miRNA 以 U6 为内参,采用 $2^{-\Delta\Delta CT}$ 法计算产物相对表达量。
- 2.3.5 Western blot 检测 PI3K、Akt 和相关功能蛋白表达取各细胞提取总蛋白,采用 BCA 试剂盒测定蛋白浓度,将30 μ g 总蛋白进行聚丙烯酰胺凝胶电泳,恒定电压 80 V,35 min 后 120 V 电泳 45 min,转移到 PVDF 膜上,5% 脱脂奶粉室温封闭 1 h,倾去封闭液,4 ℃孵育兔抗 PI3K、兔抗Akt、兔抗 MMP-2、兔抗 MMP-9,兔抗 Bcl-2、兔抗 Bax,兔抗 GAPDH,过夜,PBST(含 0.1% Tween-20 的 PBS 缓冲液)缓冲液洗膜 3 次,每次 10 min,加入辣根过氧化物酶标记的羊抗兔的二抗 IgG 抗体,室温孵育 1 h,PBST 缓冲液洗膜 3 次,每次 10 min,于光学发光仪扫描显影后,使用 Image Pro Plus 6.0 软件分析蛋白相对表达量。
- 2.4 统计学分析 通过 SPSS 21.0 软件进行处理,数据以 $(\bar{x}\pm s)$ 表示,多组间比较采用单因素方差分析,2组间比较采用 LSD-t 检验。P<0.05 表示差异具有统计学意义。

3 结果

3.1 槲皮素抑制 A549 细胞增殖 与对照组比较,槲皮素组细胞增殖率降低,差异均具有统计学意义 (*P*<0.05),并与其浓度呈负相关,见表 1。

表 1 槲皮素对细胞增殖的影响 (%, $\bar{x}\pm s$, n=3)

组别	24 h	48 h	72 h
对照组	0. 195±0. 024	0.451±0.057	0.819±0.092
槲皮素低浓度组	0. 171±0. 019	0. 334±0. 035	0.508±0.061*
槲皮素中浓度组	0. 168±0. 021	0. 289±0. 037 *	0. 406±0. 058 *
槲皮素高浓度组	0.161±0.017	0. 241±0. 022 *	0. 377±0. 034 *

注:与对照组比较,*P<0.05。

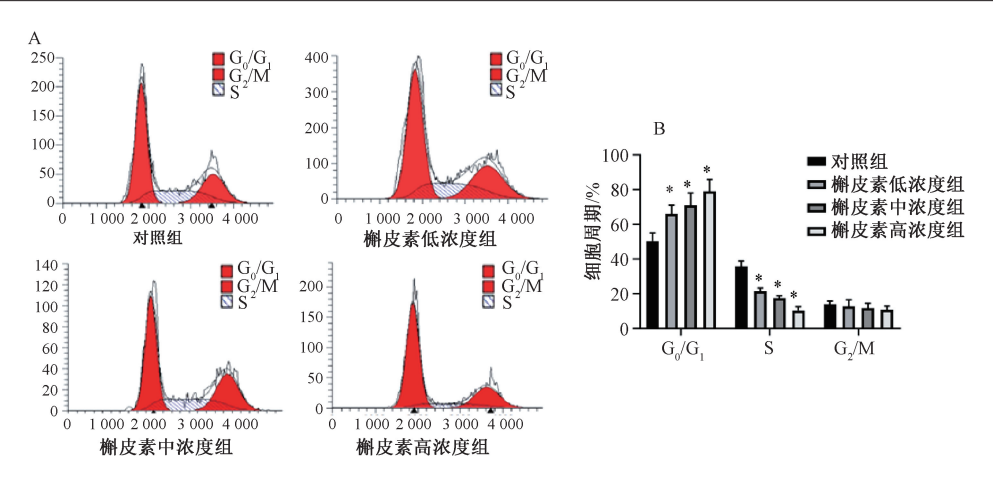
3.2 槲皮素促进 A549 细胞凋亡 与对照组比较,槲皮素组细胞 G_0/G_1 期细胞增加,S 期细胞减少,差异均具有统计学意义 (P<0.05),并与其浓度呈正相关,见表 2、图 1_{\circ}

表 2 槲皮素对细胞周期的影响 (%, $\bar{x} \pm s$, n=3)

组别	G_0/G_1	S	G_2/M
对照组	50. 31±4. 65	35. 74±3. 02	13. 95±1. 76
槲皮素低浓度组	65. 84±5. 09 *	21. 47±1. 85 *	12.69±3.77
槲皮素中浓度组	70.84±7.09*	17. 47±1. 34 *	11.69±2.77
槲皮素高浓度组	73. 97±6. 78 *	15. 31±2. 16 *	10. 72±2. 14

注:与对照组比较,*P<0.05。

3.3 槲皮素抑制 A549 细胞侵袭 与对照组比较, 槲皮素



注: A 为流式细胞图, B 为流式细胞检测直方图。与对照组比较,*P<0.05。

图 1 各组细胞周期 ($\bar{x}\pm s$, n=3)

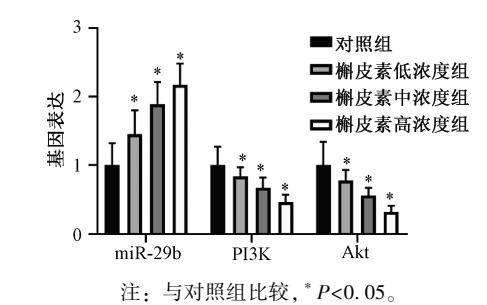
组细胞侵袭水平降低,差异均具有统计学意义 (P<0.05),

图 2 各组细胞侵袭 (×100)

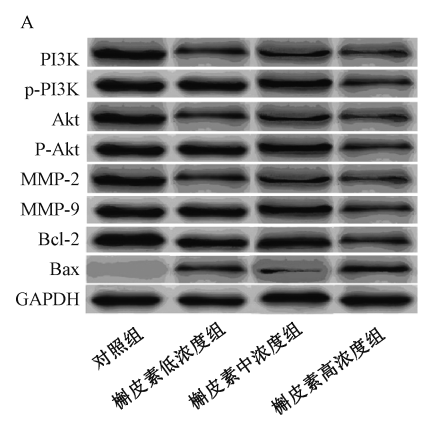
3.4 PI3K、Akt mRNA、miR-29b 表达 与对照组比较,槲皮素组 miR-29b 表达升高,并与其浓度呈正相关;PI3K、Akt mRNA 表达降低,并与其浓度呈负相关,差异均具有统计学意义 (P<0.05),见图 3。

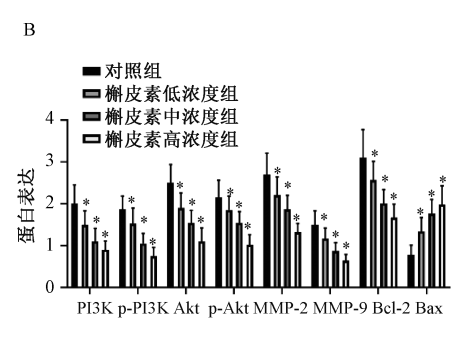
对照组

3.5 PI3K、p-PI3K、Akt、p-Akt 及相关功能蛋白表达 与对照组比较,槲皮素组 PI3K、p-PI3K、Akt、p-Akt、MMP-2、MMP-9、Bel-2 表达降低,并与其浓度负相关; Bax 表达升高,并与其浓度呈正相关,差异均具有统计学意义 (P<0.05), 见图 4。



各组 PI3K、Akt mRNA、miR-29b 表达($\bar{x}\pm s$, n=3)





注:与对照组比较,*P<0.05。

图 4 各组 PI3K、p-PI3K、Akt、p-Akt 及相关功能蛋白表达(x±s, n=3)

4 讨论

槲皮素 (quercetin, 又名槲皮黄素, $C_{15}H_{10}O$, 相对分子质量 302. 236) 是植物界分布广泛, 具有抗肿瘤、抗氧化 3478

等多种药理活性的黄酮醇类化合物^[9]。在肿瘤研究中已有大量文献报道槲皮素的抗肿瘤作用,Pang等^[10]在直肠癌的研究发现,槲皮素可通过靶向 SLCO1B1 并通过使用该化合

物产生增强的作用,抑制细胞生长并诱导肿瘤细胞凋亡来降低直肠癌患者的死亡率,Chen等[11]研究发现,槲皮素能够抑制人皮肤鳞癌癌细胞的上皮-间质转化(EMT)标记和转移能力,进而达到治疗的目的,而在肺腺癌研究领域也有大量关于槲皮素治疗肺腺癌的研究成果,Lee等[12]研究发现,槲皮素在肺癌细胞中可以抑制 HSP70 表达,并且与肺癌细胞的生长抑制和对化学治疗的敏感性有关,在肺癌治疗中可能具有化学增敏作用。

本次研究中,体外培养肺腺癌 A549 细胞,用不同浓度 (20、50、100 μmol/L) 的槲皮素处理,检测结果发现,槲皮素能够降低肺腺癌 A549 细胞增殖率和侵袭能力,促进肺腺癌 A549 细胞凋亡。

进一步的研究也发现了槲皮素能够在肺腺癌 A549 细胞中促进 miR-29b 表达。目前越来越多的研究发现了 miRNA 参与生命过程中许多重要进程,包括生长发育、疾病发生,代谢机制,甚至是肿瘤的发生^[13]。Sonoki 等^[14]研究发现,在肺腺癌的研究中,槲皮素可以增加 miR-16 表达,抑制 claudin-2 表达从而改善肿瘤进程。Wang 等^[15]研究也表明,槲皮素可通过调节 miR-16-5p 和 WEE1 表达增强非小细胞肺癌细胞的放射敏感性。而关于槲皮素与 miR-29b 之间的调控关系,目前仅有 Wang 团队关于糖尿病性视网膜病变的有相关研究^[16]。而在肿瘤研究中尚未有相关报道,本研究的发现具有一定的创新性和研究意义。

另外在肺腺癌中槲皮素能够抑制 PI3K/Akt 信号通路的激活, Huang 等^[17]在肺腺癌的研究中发现, 抑制 PI3K/Akt 途径能够增强癌细胞对顺铂的耐药性, 促进肿瘤细胞的凋亡。有大量研究已经证实了 PI3K/Akt 信号通路在肿瘤发生过程中扮演的关键角色, 探究其在肿瘤发生进程中介导的调控机制是肿瘤研究的重要突破点。

本项目结合中药有效成分,miRNA以及明星信号通路,研究三者之间的靶向调节关系以及在肺腺癌肿瘤调控中发挥的作用,初步探究槲皮素对肺腺癌 A549 细胞药效作用,在临床应用方面有良好的发展前景和医用价值。但是肿瘤发病机制复杂,本研究得到的结论应用到临床还需要进一步实验验证。

参考文献:

- [1] 陈万青,李 贺,孙可欣,等. 2014年中国恶性肿瘤发病和死亡分析[J].中华肿瘤杂志,2018,40(1):5-13.
- [2] 张国桢. 老年性微小肺癌影像诊断研究进展[J]. 老年医学与保健, 2016, 22(3): 133-135.
- [3] Hirsch F R, Scagliotti G V, Mulshine J L, et al. Lung cancer: current therapies and new targeted treatments [J]. Lancet, 2017, 389 (10066): 299-311.
- [4] de Groot P M, Wu C C, Carter B W, et al. The epidemiology

- of lung cancer [J]. Transl Lung Cancer Res, 2018, 7(3): 220-233.
- [5] Allemani C, Weir H K, Carreira H, et al. Global surveillance of cancer survival 1995-2009; analysis of individual data for 25, 676, 887 patients from 279 population-based registries in 67 countries (CONCORD-2) [J]. Lancet, 2015, 385 (9972); 977-1010.
- [6] Teicher B A. Targets in small cell lung cancer [J]. Biochem Pharmacol, 2014, 87(2): 211-219.
- [7] 韦 笑,陈仿军,辛 恺,等.免疫毒素新进展:肿瘤靶 向治疗与免疫治疗的结合[J].临床肿瘤学杂志,2019,24 (7):643-648.
- [8] 党树伟,李国东,刘 明. 槲皮素逆转肿瘤多药耐药机制的研究进展[J]. 中国肿瘤,2017,26(10):802-807.
- [9] Magar R T, Sohng J K. A Review on structure, modifications and structure-activity relation of quercetin and its derivatives[J]. J Microbiol Biotechnol, 2020, 30(1): 11-20.
- [10] Pang B, Xu X G, Lu Y, et al. Prediction of new targets and mechanisms for quercetin in the treatment of pancreatic cancer, colon cancer, and rectal cancer [J]. Food Funct, 2019, 10 (9): 5339-5349.
- [11] Chen K C, Hsu W H, Ho J Y, et al. Flavonoids luteolin and quercetin inhibit RPS19 and contributes to metastasis of cancer cells through c-Myc reduction [J]. J Food Drug Anal, 2018, 26(3): 1180-1191.
- [12] Lee S H, Lee E J, Min K H, et al. Quercetin enhances chemosensitivity to gemcitabine in lung cancer cells by inhibiting heat shock protein 70 expression[J]. Clin Lung Cancer, 2015, 16(6): e235-e243.
- [13] 王 坦,王 玉,杨廷桐. microRNA 在肺癌发生发展中的研究进展[J]. 新乡医学院学报,2011,28(6):784-787.
- [14] Sonoki H, Sato T, Endo S, et al. Quercetin decreases claudin-2 expression mediated by up-regulation of microRNA miR-16 in lung adenocarcinoma A549 cells [J]. Nutrients, 2015, 7(6): 4578-4592.
- [15] Wang Q, Chen Y K, Lu H J, et al. Quercetin radiosensitizes non-small cell lung cancer cells through the regulation of miR-16-5p/WEE1 axis [J]. IUBMB Life, 2020, 72 (5): 1012-1022.
- [16] Wang X J, Li H, Wang H, et al. Quercetin attenuates high glucose-induced injury in human retinal pigment epithelial cell line ARPE-19 by up-regulation of miR-29b [J]. J Biochem, 2020, 167(5): 495-502.
- [17] Huang T H, Ren K Q, Ding G G, et al. miR-10a increases the cisplatin resistance of lung adenocarcinoma circulating tumor cells via targeting PIK3CA in the PI3K/Akt pathway[J]. Oncol Rep., 2020, 43(6): 1906-1914.